

Starkniederschlagshöhen und -spenden gemäß KOSTRA-DWD-2020

Rasterfeld 202114

(Zeile 202, Spalte 114)

Regenspende und Bemessungsniederschlagswerte in Abhängigkeit von Wiederkehrzeit T und Dauerstufe D

| Dauerstufe D | | Wiederkehrzeit T | | | | | | | | | | | | | | | | | |
|--------------|-----|------------------|------------|-------|------------|-------|------------|-------|------------|-------|------------|-------|------------|-------|------------|-------|------------|-------|------------|
| | | 1 a | | 2 a | | 3 a | | 5 a | | 10 a | | 20 a | | 30 a | | 50 a | | 100 a | |
| min | Std | mm | l / (s ha) | mm | l / (s ha) | mm | l / (s ha) | mm | l / (s ha) | mm | l / (s ha) | mm | l / (s ha) | mm | l / (s ha) | mm | l / (s ha) | mm | l / (s ha) |
| 5 | | 8,1 | 270,0 | 9,7 | 323,3 | 10,7 | 356,7 | 12,1 | 403,3 | 14,0 | 466,7 | 15,9 | 530,0 | 17,2 | 573,3 | 18,9 | 630,0 | 21,3 | 710,0 |
| 10 | | 10,5 | 175,0 | 12,7 | 211,7 | 14,0 | 233,3 | 15,7 | 261,7 | 18,2 | 303,3 | 20,8 | 346,7 | 22,5 | 375,0 | 24,7 | 411,7 | 27,9 | 465,0 |
| 15 | | 12,1 | 134,4 | 14,6 | 162,2 | 16,1 | 178,9 | 18,1 | 201,1 | 21,0 | 233,3 | 23,9 | 265,6 | 25,9 | 287,8 | 28,4 | 315,6 | 32,1 | 356,7 |
| 20 | | 13,4 | 111,7 | 16,1 | 134,2 | 17,7 | 147,5 | 19,9 | 165,8 | 23,1 | 192,5 | 26,3 | 219,2 | 28,5 | 237,5 | 31,3 | 260,8 | 35,3 | 294,2 |
| 30 | | 15,2 | 84,4 | 18,3 | 101,7 | 20,2 | 112,2 | 22,7 | 126,1 | 26,3 | 146,1 | 30,0 | 166,7 | 32,4 | 180,0 | 35,6 | 197,8 | 40,2 | 223,3 |
| 45 | | 17,2 | 63,7 | 20,7 | 76,7 | 22,9 | 84,8 | 25,7 | 95,2 | 29,8 | 110,4 | 34,0 | 125,9 | 36,8 | 136,3 | 40,4 | 149,6 | 45,5 | 168,5 |
| 60 | 1 | 18,8 | 52,2 | 22,6 | 62,8 | 25,0 | 69,4 | 28,1 | 78,1 | 32,5 | 90,3 | 37,1 | 103,1 | 40,1 | 111,4 | 44,1 | 122,5 | 49,7 | 138,1 |
| 90 | 1,5 | 21,3 | 39,4 | 25,6 | 47,4 | 28,2 | 52,2 | 31,7 | 58,7 | 36,7 | 68,0 | 41,9 | 77,6 | 45,3 | 83,9 | 49,8 | 92,2 | 56,1 | 103,9 |
| 120 | 2 | 23,2 | 32,2 | 27,8 | 38,6 | 30,7 | 42,6 | 34,5 | 47,9 | 40,0 | 55,6 | 45,7 | 63,5 | 49,4 | 68,6 | 54,2 | 75,3 | 61,2 | 85,0 |
| 180 | 3 | 26,1 | 24,2 | 31,4 | 29,1 | 34,6 | 32,0 | 38,9 | 36,0 | 45,1 | 41,8 | 51,5 | 47,7 | 55,6 | 51,5 | 61,1 | 56,6 | 68,9 | 63,8 |
| 240 | 4 | 28,4 | 19,7 | 34,1 | 23,7 | 37,7 | 26,2 | 42,4 | 29,4 | 49,1 | 34,1 | 56,0 | 38,9 | 60,6 | 42,1 | 66,5 | 46,2 | 75,0 | 52,1 |
| 360 | 6 | 32,0 | 14,8 | 38,4 | 17,8 | 42,4 | 19,6 | 47,7 | 22,1 | 55,3 | 25,6 | 63,1 | 29,2 | 68,2 | 31,6 | 74,9 | 34,7 | 84,5 | 39,1 |
| 540 | 9 | 36,0 | 11,1 | 43,3 | 13,4 | 47,8 | 14,8 | 53,7 | 16,6 | 62,2 | 19,2 | 71,0 | 21,9 | 76,7 | 23,7 | 84,3 | 26,0 | 95,1 | 29,4 |
| 720 | 12 | 39,2 | 9,1 | 47,1 | 10,9 | 52,0 | 12,0 | 58,4 | 13,5 | 67,6 | 15,6 | 77,2 | 17,9 | 83,5 | 19,3 | 91,7 | 21,2 | 103,4 | 23,9 |
| 1080 | 18 | 44,1 | 6,8 | 53,0 | 8,2 | 58,5 | 9,0 | 65,7 | 10,1 | 76,1 | 11,7 | 86,9 | 13,4 | 93,9 | 14,5 | 103,1 | 15,9 | 116,4 | 18,0 |
| 1440 | 24 | 47,9 | 5,5 | 57,6 | 6,7 | 63,6 | 7,4 | 71,4 | 8,3 | 82,8 | 9,6 | 94,5 | 10,9 | 102,1 | 11,8 | 112,1 | 13,0 | 126,5 | 14,6 |
| 2880 | 48 | 58,6 | 3,4 | 70,4 | 4,1 | 77,7 | 4,5 | 87,4 | 5,1 | 101,2 | 5,9 | 115,5 | 6,7 | 124,9 | 7,2 | 137,2 | 7,9 | 154,7 | 9,0 |
| 4320 | 72 | 65,9 | 2,5 | 79,2 | 3,1 | 87,5 | 3,4 | 98,3 | 3,8 | 113,9 | 4,4 | 130,0 | 5,0 | 140,5 | 5,4 | 154,3 | 6,0 | 174,1 | 6,7 |
| 5760 | 96 | 71,7 | 2,1 | 86,1 | 2,5 | 95,1 | 2,8 | 106,8 | 3,1 | 123,8 | 3,6 | 141,3 | 4,1 | 152,7 | 4,4 | 167,7 | 4,9 | 189,2 | 5,5 |
| 7200 | 120 | 76,4 | 1,8 | 91,9 | 2,1 | 101,4 | 2,3 | 114,0 | 2,6 | 132,1 | 3,1 | 150,7 | 3,5 | 163,0 | 3,8 | 179,0 | 4,1 | 201,9 | 4,7 |
| 8640 | 144 | 80,6 | 1,6 | 96,9 | 1,9 | 107,0 | 2,1 | 120,2 | 2,3 | 139,3 | 2,7 | 158,9 | 3,1 | 171,8 | 3,3 | 188,7 | 3,6 | 212,9 | 4,1 |
| 10080 | 168 | 84,3 | 1,4 | 101,3 | 1,7 | 111,9 | 1,9 | 125,7 | 2,1 | 145,6 | 2,4 | 166,2 | 2,7 | 179,7 | 3,0 | 197,3 | 3,3 | 222,6 | 3,7 |

Starkniederschlagshöhen und -spenden gemäß KOSTRA-DWD-2020

Rasterfeld 202114

(Zeile 202, Spalte 114)

Örtliche Unsicherheiten in Abhängigkeit von Wiederkehrzeit T und Dauerstufe D

| Dauerstufe D | | Wiederkehrzeit T | | | | | | | | |
|--------------|-----|------------------|-----|-----|-----|------|------|------|------|-------|
| | | 1 a | 2 a | 3 a | 5 a | 10 a | 20 a | 30 a | 50 a | 100 a |
| min | Std | ± % | ± % | ± % | ± % | ± % | ± % | ± % | ± % | ± % |
| 5 | | 17 | 18 | 19 | 19 | 20 | 20 | 21 | 21 | 21 |
| 10 | | 22 | 23 | 23 | 24 | 25 | 25 | 25 | 26 | 26 |
| 15 | | 23 | 25 | 25 | 26 | 26 | 27 | 27 | 28 | 28 |
| 20 | | 24 | 25 | 26 | 27 | 27 | 28 | 28 | 29 | 29 |
| 30 | | 24 | 26 | 26 | 27 | 28 | 28 | 29 | 29 | 29 |
| 45 | | 24 | 25 | 26 | 27 | 27 | 28 | 28 | 29 | 29 |
| 60 | 1 | 23 | 25 | 25 | 26 | 27 | 27 | 28 | 28 | 29 |
| 90 | 1,5 | 22 | 23 | 24 | 25 | 26 | 26 | 26 | 27 | 27 |
| 120 | 2 | 21 | 22 | 23 | 24 | 25 | 25 | 25 | 26 | 26 |
| 180 | 3 | 20 | 21 | 22 | 22 | 23 | 24 | 24 | 24 | 25 |
| 240 | 4 | 19 | 20 | 20 | 21 | 22 | 22 | 23 | 23 | 23 |
| 360 | 6 | 17 | 18 | 19 | 19 | 20 | 21 | 21 | 21 | 22 |
| 540 | 9 | 16 | 17 | 18 | 18 | 19 | 19 | 19 | 20 | 20 |
| 720 | 12 | 15 | 16 | 17 | 17 | 18 | 18 | 18 | 19 | 19 |
| 1080 | 18 | 15 | 15 | 16 | 16 | 17 | 17 | 17 | 17 | 18 |
| 1440 | 24 | 14 | 15 | 15 | 15 | 16 | 16 | 16 | 17 | 17 |
| 2880 | 48 | 15 | 15 | 15 | 15 | 15 | 15 | 15 | 16 | 16 |
| 4320 | 72 | 15 | 15 | 15 | 15 | 15 | 15 | 15 | 15 | 16 |
| 5760 | 96 | 16 | 16 | 16 | 16 | 16 | 16 | 16 | 16 | 16 |
| 7200 | 120 | 17 | 17 | 16 | 16 | 16 | 16 | 16 | 16 | 16 |
| 8640 | 144 | 18 | 17 | 17 | 17 | 17 | 16 | 16 | 16 | 16 |
| 10080 | 168 | 19 | 18 | 18 | 17 | 17 | 17 | 17 | 17 | 17 |

Parameter für abweichende T und D

Lokationsparameter ξ (Xi)

19,069104

Skalenparameter α (Alpha)

5,35188143

Formparameter κ (Kappa)

-0,1

1. Koutsoyiannis-Parameter θ (Theta)

0,01770133

2. Koutsoyiannis-Parameter η (Eta)

0,70981526

Parameter für dauerstufenübergreifende Extremwertschätzung nach KOUTSOYIANNIS et al. 1998.

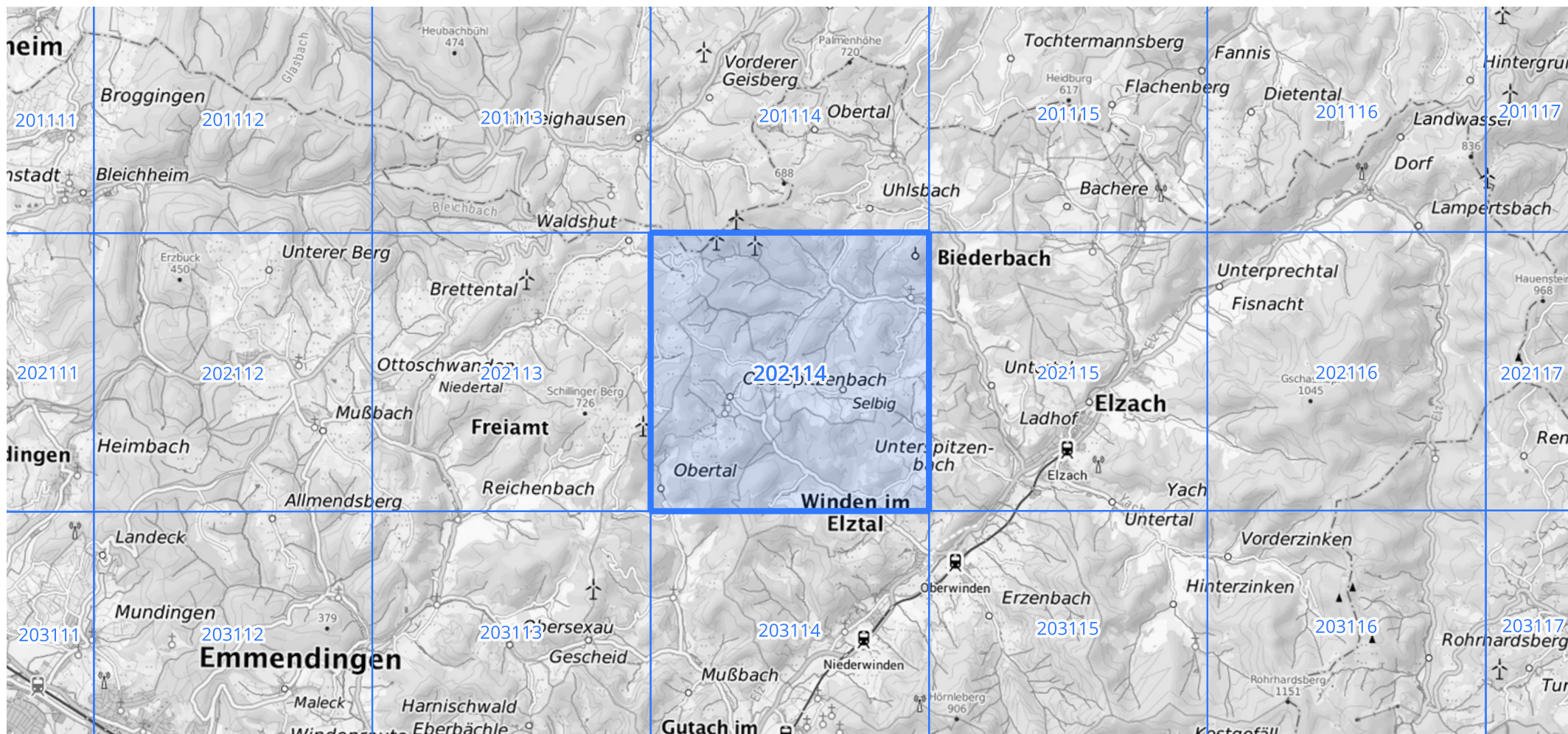
Siehe auch Anwendungshilfe zu KOSTRA-DWD-2020 des Deutschen Wetterdienstes.

Starkniederschlagshöhen und -spenden gemäß KOSTRA-DWD-2020

Rasterfeld 202114

(Zeile 202, Spalte 114)

Übersichtskarte des Rasterfeldes 202114, M 1 : 100 000



Quelle Rasterdaten: KOSTRA-DWD-2020 des Deutschen Wetterdienstes, Stand 12/2022.

Seite 3 von 3

Kartendarstellung: © Bundesamt für Kartographie und Geodäsie (2023), Datenquellen: https://sgx.geodatenzentrum.de/web_public/gdz/datenquellen/Datenquellen_TopPlusOpen.html

Für die Richtigkeit und Aktualität der Angaben wird keine Gewähr übernommen. Erstellt 01/2023.